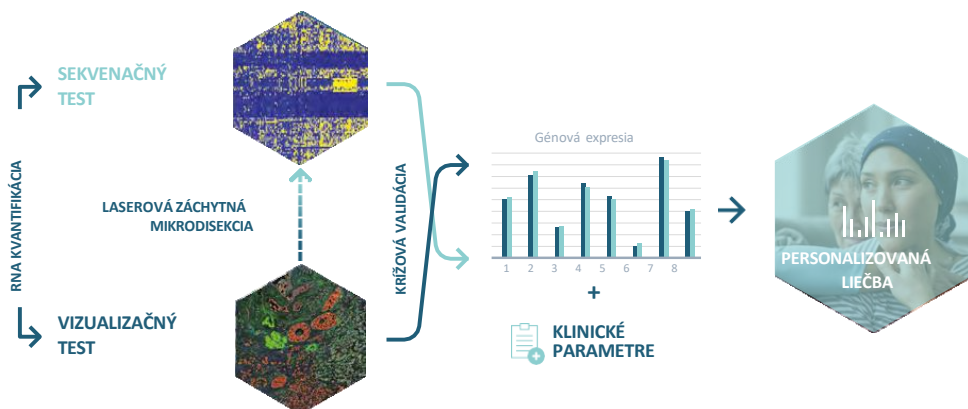


PACIENT	VZORKA	OŠETRUJÚCI LEKÁR
Meno:	ID vzorky: MDX-PT-59	Meno:
ID:	Dátum odberu:	Adresa:
Dátum správy:	Typ: neoadjuvantný	Kontakt:

POPIS TESTU

Test **Multiplex8+** na rakovinu prsníka hodnotí biomarkery na báze RNA vykonaním **VIZUALIZAČNÉHO TESTU**, ktorý využíva RNA fluorescenčnú in situ hybridizáciu (RNA-FISH) na vizualizáciu panelu biomarkerov. Na základe expície týchto biomarkerov a histológie tkaniva sa na vyčlenenie záujmových oblastí používa laserová záchytná mikrodisekcia. S týmito vzorkami obohatenými o nádor sa vykoná **SEKVENAČNÝ TEST**, ktorý využíva sekvenovanie novej generácie celkovej RNA na analýzu expície génov s priestorovým rozlíšením. Analytické overenie Multiplex8+ sa uskutočnilo na veľkej retrospektívnej kohorte 1 082 nádorov prsníka.



TEST POSKYTUJE INFORMÁCIE O:

- STAVE RECEPTOROV:** pre expíciu RNA estrogénového receptora, progesterónového receptora, receptora Her2 a Ki67 meranú a križovo overovanú dvoma testami.
- MOLEKULÁRNOM SUBTYPE:** na základe RNA expície génov nádorovej biológie.
- GÉNOVEJ SIGNATÚRE:** personalizované pre nádorovú biológiu a klinický stav pacientov.

VYSVETLIVKY K INTERPRETÁCII

V nasledujúcom reporte je každému génu/génovej signatúre priradené percentilové skóre, ktoré hodnotí úroveň expície v kontexte pacientov zaradených do našej retrospektívnej kohorty. Pre štyri hlavné biomarkery rakoviny prsníka, estrogénový receptor (ESR1), progesterónový receptor (PGR), receptor Her2 (ERBB2) a Ki67 (MKI67), sú tieto percentilové hodnotenia v kontexte všetkých 1 013 zaradených pacientov. V prípade všetkých ostatných génov/génových signatúr sú percentilové poradia v kontexte ostatných pacientov patriacich do toho istého MOLEKULÁRNEHO SUBTYPU. Napríklad pre pacientov klasifikovaných ako luminálny A dostanú gény a génová signatúra percentilové skóre v porovnaní so všetkými vzorkami luminálneho A v našej retrospektívnej validácii. Percentilové skóre nemusí nevyhnutne znamenať danú úroveň citlivosti alebo rezistencie na liečbu.

Percentil vzorky
Nízky (1-33)
Stredný (<33-66)
Vysoký (<66-100)

Skupiny percentilov a rozsahy

Subtyp	# pacientov
Luminálny A	432
Luminálny B	313
Her2+	87
Basal-like	181
Všetci pacienti	1 013

Počet pacientov v každom molekulárnom subtype a celkovej retrospektívnej kohorte, ktoré sa používajú na určenie percentilového poradia

ZHRNUTIE VÝSLEDKOV

NIŽŠIE JE UVEDENÉ ZHRNUTIE A ĎALŠIE PODROBNOSTI SÚ UVEDENÉ NA NASLEDUJÚCICH STRANÁCH.

STAV RECEPTOROV

Vzorka	ESR1	PGR	ERBB2	MKI67
A	–	–	– nízky (low)	+

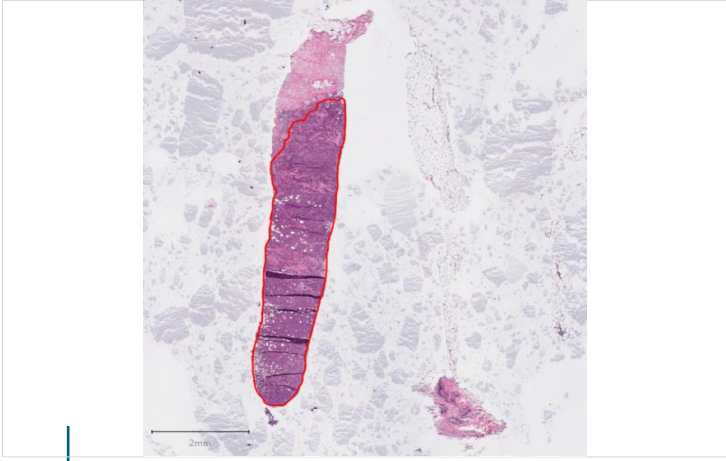
MOLEKULÁRNY SUBTYP

Vlastný subtyp	TNBC subtyp
Basal-like	Mezenchymálny (M)

RELEVANTNÁ LIEČBA

TERAPIA	KLÚČOVÉ ZISTENIA	KLINICKÝ BENEFIT
Atezolizumab, Pembrolizumab, Durvalumab	Génová expresia, génová expresná signatúra, molekulárny subtyp	Predpokladaný benefit
Sacituzumab govitekan (Trodelvy)	Génová expresia	Predpokladaný benefit
Trastuzumab deruxtekan (Enhertu)	Génová expresia	Predpokladaný benefit
Bevacizumab (Avastin)	Génová expresia, génová expresná signatúra	Predpokladaný benefit
5-fluorouracil (5-FU)	Génová expresia	Predpokladaný benefit
ADC v klinických skúškach	Génová expresia	Predpokladaný benefit (off-label, klinické skúšky)
Chemoterapia antracyklínmi/ta xánmi	Molekulárny subtyp, génová expresia, génové expresné signatúry	Neistý benefit
Gemcitabín a kapecitabín	Génová expresia	Žiadny predpokladaný benefit

LASEROVÁ ZÁCHYTNÁ MIKRODISEKCIA



Na základe histologického hodnotenia a expresie biomarkerov RNA-FISH bola jedna vzorka (**Vzorka A**) podrobená laserovej mikrodisekcii pre ďalšiu analýzu.

STAV RECEPTOROV

Vzorka	ESR1	PGR	ERBB2	MKI67
A	-	-	- nízky (low)	+

Stav receptorov bol určený použitím **VIZUALIZAČNÉHO TESTU** ako aj **SEKVENAČNÉHO TESTU**: tabuľka znázorňuje výsledky po krížovej validácii.

INTERPRETÁCIA

- Výsledky z testu Multiplex8+ sú v súlade s imunohistochemickými nálezmi.

MOLEKULÁRNY SUBTYP

Vlastný subtyp	TNBC subtyp ²⁻⁴
Basal-like	Mezenchymálny (M)

Na základe **SEKVENAČNÉHO TESTU** sme na klasifikáciu vnútorného molekulárneho subtypu použili konsenzuálny prístup využívajúci našu vlastnú viac ako 293-génovú signatúru na molekulárnu subtypizáciu, výskumom podložený test PAM50 a metódu AIMS¹. Prípadný TNBC subtyp, bol klasifikovaný podľa Lehmana²⁻⁴.

INTERPRETÁCIA

- Biológia basal-like typu nádoru je v súlade s imunohistochemickým a klinickým označením.
- Basal-like subtyp je podobný TNBC, pretože často chýba expresia hormonálnych a HER2 receptorov. Hoci pacientky s basal-like karcinómom prsníka lepšie reagujú na chemoterapiu, sú náchylnejšie na skorý relaps a majú horšiu prognózu.
- Mezenchymálny subtyp TNBC je charakterizovaný zvýšenou expresiou génov zapojených do epitelovo-mezenchymálnych prechodových dráh a dráh rastových faktorov, bunkovou proliferáciou, imunosupresívnym mikroprostredím nádoru, asociáciou s metaplastickým histologickým subtypom, slabou odpoveďou na chemoterapiu a zníženým prežívaním²⁻⁴. Mezenchymálny podtyp TNBC môže dobre reagovať na liečbu zameranú na dráhy PI3K/mTOR.

GÉNOVÁ SIGNATÚRA

- Na základe prideleného molekulárneho subtypu a prípadného TNBC subtypu sme hodnotili niekoľko jednotlivých génov a génových signatúr, ktoré preukázali prognostický a prediktívny potenciál pre terapiu v skorých a pokročilých/metastatických štádiách.

Typ liečby / Dráha	Génová signatúra	Popis	Vzorka A percentil	
Prognóza	Consensus prognostic signature	Prognostická signatúra je odvodená z konsenzu troch prognostických signatúr založených na výskume: 21-génovej signatúry GENE21 ⁵ , 70-génovej signatúry GENE70 ⁶ a 50-génovej signatúry rizika relapsu založenej len na subtype (ROR-S) ⁷ . Prognostické signatúry sú určené pre pacientky s včasným štádiom karcinómu prsníka s ER+/Her2- IHC, negatívnymi lymfatickými uzlinami alebo 1 - 3 pozitívnymi lymfatickými uzlinami. Skóre sa uvádza ako vysoké, stredné alebo nízke. Pacientky s vysokým skóre signatúry majú vyššie riziko relapsu a môžu mať prospech z adjuvantnej chemoterapie, zatiaľ čo pacientky s nízkym skóre majú nižšie riziko relapsu a nemusia mať prospech z adjuvantnej chemoterapie.	N/A	

GÉNOVÁ SIGNATÚRA

Typ liečby / Dráha	Génová signatúra	Popis	Vzorka A percentil	
Luminálne signatúry	ESR1	Gény ESR1 a PGR kódujú estrogénové (ER) a progesterónové (PR) receptory, ktoré sa podieľajú na raste, metabolizme a reprodukčných funkciách. Vysoký ER/PR je predikčný pre endokrinnú liečbu a nízky alebo negatívny ER/PR sa spája so zlou prognózou ⁸ .	Nízky (1)	
	PGR		Nízky (1)	
	ESR1_PGR average	Priemerná expresia génov ESR1 a PGR. Vyššie hladiny hormonálnych receptorov sú predikčnými markermi pre endokrinnú liečbu.	Nízky (0)	
	E2F4_score	Táto génová signatúra hodnotí aktivitu transkripčného faktora E2F4 a jeho cieľov. Vysoká hodnota E2F4 signatúry sa spája s endokrinnou rezistenciou na inhibítory aromatázy a môže predpovedať citlivosť na inhibítory CDK4/6 ⁹ .	Vysoký (87)	
Her2	ERBB2	Gén ERBB2 kóduje Her2, receptorovú tyrozínkinázu, ktorá sa podieľa na raste/proliferácii buniek a je prognostickým markerom a predikčným ukazovateľom odpovede na terapiu cieleňú na Her2 ⁸ .	Nízky (29)	
	MUC4	Mucín 4 (MUC4) je glykoproteín, ktorý sa podieľa na rezistencii voči trastuzumabu prostredníctvom interakcií s receptorom Her2. Vysoká expresia MUC4 sa spája so zníženou citlivosťou na trastuzumab ¹⁰ .	Nízky (17)	
	NRG1	NRG1 kóduje neuregulín 1, ligand receptora Her3. V štúdií NeoSphere fázy II bola vysoká expresia génu NRG1 spojená so zníženou odpoveďou na neoadjuvantný trastuzumab, ale nie s kombináciou trastuzumab-pertuzumab ¹¹ .	Nízky (0)	
	pSTAT3-GS	Signatúra, ktorá predpovedá fosforyláciu STAT3 a o ktorej sa zistilo, že predpovedá rezistenciu voči trastuzumabu v štúdií FinHer ¹² .	Nízky (15)	
	Her2 amplicon_MDX	Vlastná 43-génová signatúra MDX, ktorá sa používa na hodnotenie stavu Her2.	Nízky (17)	
	Module7_ERBB2	Signatúra Her2 signalizácie predpovedajúca odpoveď na viacnásobnú anti-Her2 liečbu v štúdií I-SPY2 ¹³ .	Stredný (65)	
	T-DM1_pred	Predikčná signatúra trastuzumab emtanzín (T-DM1) je klasifikátor určený len na výskumné účely, ktorý kombinuje 19 génov/génových signatúr zapojených do mechanizmu účinku T-DM1 a preukázal, že predpovedá odpoveď v ramene T-DM1 štúdie I-SPY2 (https://doi.org/10.1101/2023.12.05.23299341).	Nízky (11)	
Proliferácia	AURKA	Gén AURKA kóduje proteín Aurora Kináza A, ktorý sa podieľa na proliferácii buniek a je nezávislým prognostickým markerom pri rakovine prsníka.	Vysoký (95)	
	MKI67	MKI67 kóduje marker proliferácie, Ki67 proteín, ktorý je markerom zlej prognózy v ER+/Her2- nádoroch, ale nie v Her2+ alebo TNBC nádoroch. Zvýšená hladina Ki67 predpovedá aj citlivosť na neoadjuvantnú endokrinnú terapiu a chemoterapiu ⁸ .	Vysoký (94)	
	Module11_proliferation	Proliferačný index použitý v štúdií I-SPY2 všeobecne predpovedá patologickú kompletnú odpoveď u pacientov s pozitívou hormonálnych receptorov ⁴ .	Vysoký (94)	
	Proliferation_MDX	Vlastná 7-génová signatúra MDX používaná na hodnotenie bunkovej proliferácie a krížovú validáciu MKI67.	Vysoký (92)	
Inhibítory CDK4/6	CDK4	Cyklín-dependentné kinázy 4 a 6 (CDK4 a CDK6) sú dôležité proteíny, ktoré regulujú priebeh bunkového cyklu z fázy G1 do fázy S. Sú hlavnými cieľmi inhibítorov CDK4/6, ako sú palbociklib (Ibrance), ribociklib (Kisqali) a abemaciklib (Verzenio); nie je však jasné, či úroveň ich expície predpovedá citlivosť na inhibítory CDK4/6.	Vysoký (76)	
	CDK6		Vysoký (75)	
	CCNE1	Zvýšená expresia regulátorov G1/S fáz bunkového cyklu, CCNE1, CCND3, a CDKN2D, bola spojená s rezistenciou na palbociklib (Ibrance) v jednoramennej neoadjuvantnej štúdií fázy II (NeoPalAna) ¹⁴ .	Stredný (56)	
	CCND3		Nízky (12)	
	CDKN2D		Vysoký (95)	
PIK3CA mutácie	PIK3CA-GS	Génová signatúra, ktorá predpovedá mutácie v géne PIK3CA a následne aj odpoveď na liečbu inhibítorom PI3K alpelisibom (Piqray). Vysoké skóre PIK3CA-GS sa spája aj s aktiváciou dráhy PI3K/AKT a stratou signalizácie mTORC1, čo môže mať význam pre odpoveď na inhibítory mTOR (napr. everolimus) ¹⁵ .	Vysoký (89)	

GÉNOVÁ SIGNATÚRA

Typ liečby / Dráha	Génová signatúra	Popis	Vzorka A percentil	
Chemoterapia	TOP1	Gén kódujúci DNA topoizomerázu I, enzým kritický pre transkripciu DNA, je cieľom protinádorových liekov.	Vysoký (97)	
	TOP2A	Gén kódujúci DNA topoizomerázu IIa, enzým kritický pre transkripciu DNA, je cieľom protinádorových liekov.	Vysoký (81)	
	RAD51	Proteín DNA opravy RAD51 homológ 1 (RAD51) sa podieľa na oprave poškodenej DNA a je asociovaný s rezistenciou voči chemoterapii.	Vysoký (86)	
	ERCC1	Proteín excíznej DNA opravy ERCC-1 (ERCC1) sa podieľa na oprave poškodenia DNA a je asociovaný s rezistenciou voči chemoterapii.	Vysoký (90)	
	TYMS	Gén TYMS kóduje enzým tymidilát syntetázu, ktorý sa podieľa na biosyntéze DNA a je cieľom antimetabolitovej chemoterapie 5-fluorouracil ¹⁶ .	Vysoký (92)	
	SLC29A1	Gén SLC29A1 kóduje proteín ENT1 (equilibrative nucleoside transporter 1), nukleozidový transportér, ktorý sa podieľa na transporte gemcitabínu a kapecitabínu ¹⁷ .	Nízky (32)	
	DHFR	Dihydrofolátreduktáza je enzým kódovaný génom DHFR a podieľa sa na metabolizme folátov a raste buniek. Je cieľom antimetabolitovej chemoterapie metotrexát ¹⁸ .	Nízky (15)	
	SLC19A1	Gén SLC19A1 kóduje proteín RFC1 (reduced folate carrier 1), ktorý prenáša metotrexát do bunky ¹⁸ .	Vysoký (86)	
	CDK12	Proteínový produkt génu CDK12 (Cyclin Dependent Kinase 12) reguluje transkripciu, dráhy opravy DNA a bunkový cyklus ¹⁹ .	Nízky (9)	
	MAPs_Mitotic_ki nases_neoadj_ch emo118	118-génová signatúra predpovedajúca odpoveď na neoadjuvantnú chemoterapiu pomocou liečiva taxán ²⁰ .	Vysoký (94)	
	MAPs_Mitotic_ki nases_neoadj_ch emo17	17-génová signatúra predpovedajúca odpoveď na neoadjuvantnú chemoterapiu pomocou liečiva taxán ²⁰ .	Vysoký (95)	
	Early_Relapse_ER.Neg	Génová signatúra chemorezistencie predpovedajúca skorý relaps u pacientov s negatívnou ER (ER-) po chemoterapii liečivami taxán-antracyklín ²¹ .	Stredný (64)	
	Residual_disease_ER.Neg	Génová signatúra chemorezistencie predpovedajúca reziduálne ochorenie u pacientov s negatívnou ER (ER-) po chemoterapii liečivami taxán-antracyklín ²¹ .	Stredný (55)	
	Pathologic_response_ER.Neg	Génová signatúra chemosenzitivity predpovedajúca patologickú úplnú odpoveď u pacientov s negatívnou ER (ER-) po chemoterapii liečivami taxán-antracyklín ²¹ .	Stredný (62)	
	Early_Relapse_ER.Pos	Génová signatúra chemorezistencie predpovedajúca skorý relaps u pacientov s pozitívnou ER (ER+) po chemoterapii liečivami taxán-antracyklín ²¹ .	Stredný (34)	
	Residual_disease_ER.Pos	Génová signatúra chemorezistencie predpovedajúca reziduálne ochorenie u pacientov s pozitívnou ER (ER+) po chemoterapii liečivami taxán-antracyklín ²¹ .	Vysoký (95)	
Pathologic_response_ER.Pos	Génová signatúra chemosenzitivity predpovedajúca patologickú úplnú odpoveď u pacientov s pozitívnou ER (ER+) po chemoterapii liečivami taxán-antracyklín ²¹ .	Vysoký (79)		

Typ liečby / Dráha	Génová signatúra	Popis	Vzorka A percentil	
Imunitný systém	PDCD1	PDCD1 kóduje marker imunitného kontrolného bodu PD-1. PD-1 je cieľom liečiva pembrolizumab (Keytruda), imunoterapie schválenej na liečbu prvej línie metastatického TNBC.	Stredný (64)	
	CD274	Gén CD274 kóduje marker imunitného kontrolného bodu PD-L1. PD-L1 je cieľom liečiva atezolizumab (Tecentriq), imunoterapie schválenej na liečbu prvej línie metastatického TNBC.	Stredný (53)	
	CTLA4	Antigén 4 asociovaný s cytotoxickými T-lymfocytmi (CTLA4) je marker imunitného kontrolného bodu a cieľ niekoľkých imunoterapeutických liekov, ako napríklad durvalumab (Imfinzi).	Stredný (39)	
	Module5_TcellBcell	Imunitné signatúry predpovedajúce odpoveď na pembrolizumab pacientov s TNBC zaradených do štúdie I-SPY2 ¹³ . Všetky signatúry, s výnimkou mastocytov (Mast_cells), boli spojené so zvýšenou pravdepodobnosťou dosiahnutia patologickej kompletnej odpovede.	Stredný (45)	
	Chemokine12		Stredný (54)	
	STAT1		Stredný (40)	
	Dendritic_cells		Vysoký (82)	
	Mast_cells		Nízky (1)	
DNA poškodenie a oprava	VCpred_TN	Signatúra reparácie poškodenia DNA / imunity predpovedajúca odpoveď na veliparib (inhibitor PARP) a karboplatinu (štúdia I-SPY2) ¹³ .	Stredný (45)	
Angiogenéza / hypoxia	VEGFA	Gén kódujúci vaskulárny endotelový rastový faktor, proteín, ktorý sa podieľa na angiogenéze, vazodilatácii a raste endotelových buniek. VEGF je cieľom lieku bevacizumab (Avastin).	Nízky (23)	
	Hypoxia / Angiogenesis / Inflammatory_MDX	Vlastná 7-génová signatúra používaná na hodnotenie hypoxie, angiogenézy a zápalu. Signatúra zahŕňa gény, o ktorých je známe, že predpovedajú odpoveď na bevacizumab (Avastin) v neoadjuvantnej štúdií GeparQuinto ²² .	Stredný (41)	
Ciele konjugátov protilátky a liečiva (ADC)	ERBB2	Gén ERBB2 kóduje proteínový receptor Her2, ktorý je cieľom klasickej anti-Her2 liečby. Nízke a ultranízké hladiny Her2 môžu byť vhodné na liečbu konjugátom protilátky a liečiva (antibody-drug conjugate) trastuzumab deruxtekan (Enhertu) ²³ .	Nízky (29)	
	TACSTD2	Gén TACSTD2 kóduje Tumor-associated calcium signal transducer 2, nazývaný aj Trop-2, ktorý je cieľom liečiva sacituzumab govitekan (Trodelvy), konjugátu protilátky a liečiva (antibody-drug conjugate) schváleného na liečbu metastatického TNBC ²⁴ .	Vysoký (69)	
	NECTIN4	Gén NECTIN4 kóduje Nectin Cell Adhesion Molecule 4, bunkovú adhéziu molekulu, ktorá je cieľom konjugátov protilátok s liečivami (antibody-drug conjugates) v klinických štúdiách rakoviny prsníka.	Vysoký (90)	
	ERBB3	ERBB3 kóduje proteín rodiny receptorov epidermálneho rastového faktora (EGFR) receptorových tyrozínkináz. Skúma sa v klinických skúškach pre konjugát protilátky a liečiva (antibody-drug conjugate) patritumab deruxtekan.	Vysoký (89)	
	FOLR1	FOLR1 kóduje folátový receptor alfa, ktorý je cieľom konjugátu protilátky a liečiva (antibody-drug conjugate) skúmaným na liečbu metastatického TNBC v niekoľkých klinických štúdiách fázy 1 a 2.	Vysoký (79)	
	F3	F3 kóduje tkanivový faktor, koagulačný faktor III, ktorý je cieľom niekoľkých konjugátov protilátok a liečiv (antibody-drug conjugates) vo fáze 1 klinických skúšok.	Nízky (10)	
	SLC39A6	Gény SLC39A6 kódujú transportér zinku LIV-1, ktorý je vysoko exprimovaný v lumenálnych karcinómoch prsníka a skúma sa v niekoľkých klinických štúdiách fázy 1 a 2.	Vysoký (95)	
	TPBG	Trofoblastový glykoproteín (TPBG) je nadmerne exprimovaný v mnohých prípadoch rakoviny prsníka a je cieľom najmenej dvoch konjugátov protilátky a liečiva, ktoré sú vo fáze 1 klinických skúšok.	Nízky (20)	

Typ liečby / Dráha	Génová signatúra	Popis	Vzorka A percentil
	ROR2	Gén, ktorý kóduje proteín Receptor Tyrosine Kinase Like Orphan Receptor 2, cieľ konjugátu protilátky a liečiva (Ozurifitamab Vedotin) (BA3021/CAB-ROR2-ADC), ktorý sa skúma vo fáze klinického skúšania pokročilých solídnych nádorov vrátane TNBC.	Nízky (7)
	CD276	Tento gén kóduje marker imunitného kontrolného bodu nazývaný CD276 (známy aj ako B7-H3). Je cieľom konjugátu protilátky a liečiva (Mirzotamab clezutoclax) (ABBV-155), ktorý je vo fáze 1 a 2 klinického skúšania pokročilých solídnych nádorov vrátane karcinómu prsníka.	Vysoký (94)
	VTCN1	V-Set Domain Containing T Cell Activation Inhibitor 1 (VTCN1 nazývaný aj B7-H4) je marker imunitného kontrolného bodu a cieľ konjugátu protilátky a liečiva SGN-B7H4V, ktorý sa skúma vo fáze 1 klinického skúšania pokročilých solídnych nádorov vrátane karcinómu prsníka.	Vysoký (68)
	CEACAM5	Gén, ktorý kóduje proteín CEA Cell Adhesion Molecule 5, cieľ konjugátu protilátky a liečiva Tusamitamab ravtansine (SAR408701), ktorý sa skúma v 2. fáze klinického skúšania pokročilých solídnych nádorov vrátane karcinómu prsníka.	Nízky (22)

INTERPRETÁCIA A ODPORÚČANIE

- Stredné/vysoké skóre všetkých génov a génových signatúr súvisiacich s imunitou (s výnimkou Mast_cells) naznačuje dobrú odpoveď na inhibítory kontrolných bodov imunitného systému, ako sú atezolizumab, pembrolizumab alebo durvalumab.
- Vysoké hladiny TACSTD2 predpovedajú citlivosť na konjugát protilátky a liečiva (ADC) zameraný na Trop-2, sacituzumab govitekan. Vysoká hladina TOP1, ktorý je cieľom cytotoxickéj zložky SN-38 sacituzumabu govitekenu, taktiež podporuje očakávaný prínos.
- Keďže vzorka je klasifikovaná ako ERBB2-low, pacientka môže mať prospech z ADC trastuzumabu deruxtekanu (Enhertu), ktorý je schválený pre pacientov s metastatickým karcinómom prsníka s nízkou hladinou Her2. Cytotoxická zložka tohto ADC, deruxtekan, je zameraná na TOP1, ktorý je exprimovaný vo vysokých hladinách. Expresia antigénu aj cieľa cytotoxickéj zložky naznačuje, že trastuzumab deruxtekan môže byť účinný v pokročilom/metastatickom štádiu.
- Klasifikácia nádoru ako mezenchymálny (M) TNBC subtyp a mierna expresia signatúry Hypoxia / Angiogenesis / Inflammatory_MDX naznačujú, že v metastatickom prostredí. bevacizumab (Avastin) môže byť vhodnou liečbou.
- Citlivosť na neoadjuvantnú/adjuvantnú chemoterapiu antracyklínmi/taxánmi podporuje basal-like molekulárny subtyp, stredné/vysoké skóre génových signatúr pre neoadjuvantnú/adjuvantnú antracyklínovú/taxánovú chemoterapiu (MAPs_Mitotic_kinases_neoadj_chemo118, MAPs_Mitotic_kinases_neoadj_chemo17, Early_Relapse_ER.Neg, Residual_disease_ER.Neg, a Pathologic_response_ER.Neg). Vysoká expresia markerov rezistencie, ako sú RAD51 a ERCC1 a mezenchymálny subtyp TNBC však naznačujú neistý benefit z neoadjuvantnej/adjuvantnej antracyklínovej/taxánovej chemoterapie.
- Vysoké hladiny TYMS môžu predpovedať odpoveď na 5-fluorouracil a chemoterapiu, ktorá sa metabolizuje na 5-FU (napr. kapecitabín). Vzhľadom na nízku expresiu nukleozidového transportéra SLC29A1, ktorý je spojený s citlivosťou na gemcitabín a kapecitabín, sa však prínos kapecitabínu nepredpokladá.
- Vzorka vykazuje vysokú expresiu viacerých cieľov pre konjugáty protilátok a liečív, vrátane NECTIN-4, ERBB3, FOLR1, SLC39A6, CD276 a VTCN1. Tieto ciele sa v súčasnosti skúmajú v klinických štúdiách rakoviny prsníka.

REFERENCIE

- Gendoo, D.M.A. et al. *Bioinformatics* 32(7): 1097–1099 (2016).
- Lehmann, B. D. et al. *J Clin Invest* 121: 2750–2767 (2011).
- Lehmann, B. D. et al. *PLoS One* 11: e0157368 (2016).
- Bareche, Y. et al. *Ann Oncol* 29: 895–902 (2018).
- Paik, S. et al. *N Engl J Med* 351(27): 2817–2826 (2004).
- van't Veer, L.J. et al. *Nature* 415(6871): 530–536 (2002).
- Parker, J.S. et al. *J Clin Oncol* 27(8): 1160–1167 (2009).
- Cardoso, F. et al. *Ann Oncol* 30(8): 1194–1220 (2019).
- Guerrero-Zotano, A.L. et al. *Clin Cancer Res* 24(11): 2517–2529 (2018).
- Mercogliano, M.F. et al. *Clin Cancer Res* 23(3): 636–648 (2017).
- Guardia, C. et al., *Clin Cancer Res* 27(18): 5096–5108 (2021).
- Sonnenblick, A. et al. *BMC Med* 13:177 (2015).
- Wolf, D. M. et al. *Cancer Cell* 40: 609–623.e6 (2022).
- Ma, C.X. et al. *Clin Cancer Res* 23(15): 4055–4065 (2017).
- Loi, S. et al. *PNAS* 107(22): 10208–10213 (2010).
- Foekens, J.A. et al. *Cancer Res.* 61: 1421–1425 (2001).
- Mackey, J.R. et al. *Clin Cancer Res.* 8(1): 110–116 (2002).
- Yang, V. et al. *RSC Med Chem.* 11(6): 646–664 (2020).
- Filippone, M.G. et al. *Nat Commun.* 13(1): 2642 (2022).
- Rodrigues-Ferreira, S. et al. *Proc Natl Acad Sci USA* 116(47): 23691–23697 (2019).
- Hatzis, C. et al. *JAMA* 305(18):1873–81 (2011).
- Karn, T. et al. *Clin Cancer Res* 26: 1896–1904 (2020).
- Modi, S. et al. *N Engl J Med* 387: 9–20 (2022).
- Michaleas, S. et al. *ESMO Open* 7 (2022).